

К ТЕОРИИ НЕЛИНЕЙНЫХ ВОЛН В ПЛАЗМЕ

Ю. А. Березин, Р. З. Сагдеев

(*Новосибирск*)

Рассмотрены стационарные нелинейные волны, распространяющиеся в холодной разреженной плазме, состоящей из электронов и ионов двух сортов. Найдена структура уединенных и ударных волн.

В последнее время в связи с лабораторными экспериментами [1] и астрофизическими приложениями (проблема взаимодействия «солнечного ветра» с магнитосферой Земли [2]) интенсивно изучаются волны конечной амплитуды и бесстолкновительные ударные волны в разреженной плазме. Учет дисперсионных эффектов, связанных с отклонением закона дисперсии $\omega = \omega(k)$ от линейного и компенсирующих нелинейное укручивание профиля волны, позволяет получить профиль стационарных нелинейных волн конечной амплитуды, а при учете затухания — и структуру бесстолкновительной ударной волны [3]. Такие волны изучены достаточно полно для случая двухкомпонентной плазмы. В настоящей работе исследуются стационарные нелинейные волны, распространяющиеся поперек магнитного поля в холодной разреженной квазинейтральной плазме, состоящей из электронов и двух сортов ионов.

Характер закона дисперсии $\omega = \omega(k)$ для волн малой амплитуды в рассматриваемой трехкомпонентной плазме иллюстрируется фиг. 1 (см. также [4]), здесь и в дальнейшем

$$\omega_{1,2} = \frac{eH_0}{m_{1,2}c}, \quad \omega^{(0)} = \left(\frac{m_1}{m_2} \alpha_1 + \alpha_2 \right) \omega_1, \quad \alpha_j = \frac{n_{j_0}}{n_0}$$

При этом индекс 1 соответствует более тяжелому сорту ионов, n_{j_0} — невозмущенная плотность j -го сорта ионов, n_0 — невозмущенная плотность электронов. При малых частотах фазовая скорость малых колебаний

$$\frac{\omega}{k} = \frac{H_0}{V \sqrt{4\pi n_0 (m_1 \alpha_1 + m_2 \alpha_2)}} \equiv V_A$$

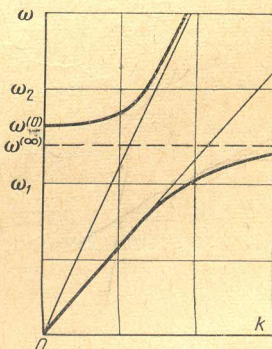
и убывает по мере приближения ω к

$$\omega^{(\infty)} = \frac{eH_0}{V \sqrt{m_1 m_2 c}} \left(\frac{m_1 \alpha_1 + m_2 \alpha_2}{m_1 \alpha_2 + m_2 \alpha_1} \right)^{1/2}$$

При сравнительно небольших скоростях нелинейных волн «работает» в основном нижняя ветвь дисперсионной кривой, и характерный размер волн сжатия, которые могут существовать при таком законе дисперсии, по порядку величины равен $\delta \sim V_A / \omega^{(\infty)}$, что в интересном случае малой примеси легкой компоненты либо большой разницы в массах ионов ($m_1 \alpha_1 \gg m_2 \alpha_2$) дает

$$\delta \sim \frac{c \sqrt{m_2}}{\sqrt{4\pi n_0 c^2}} \left(\frac{\alpha_2}{\alpha_1} \right)^{1/2}$$

С увеличением скорости волн в игру вступает верхняя ветвь, и профиль нелинейных волн, как будет видно из дальнейшего, изменится. При часто-



Фиг. 1

так $\omega \gg \omega^{(\infty)}$ верхняя ветвь дисперсионной кривой имеет асимптоту

$$\frac{\omega}{k} = V_A \left[\left(\alpha_1 + \frac{m_2 \alpha_2}{m_1} \right) \left(\alpha_1 + \frac{m_1 \alpha_2}{m_2} \right) \right]^{1/2}$$

В области частот, больших по сравнению с ω_1, ω_2 , отклонение этой ветви от линейного хода существенно проявляется при гибридной частоте

$$\omega_e = \frac{eH_0}{\sqrt{m_i m_e c}}$$

но эта область хорошо изучена (дисперсионные эффекты связаны с инерцией электронов) и здесь не рассматривается.

Перейдем теперь к изучению нелинейных стационарных волн. В системе координат, движущейся со скоростью волны U , соответствующие уравнения можно записать в виде

$$m_j v_{jx} \frac{dv_{jx}}{dx} = eE_x + \frac{e}{c} v_{jy} H, \quad m_j v_{jx} \frac{dv_{jy}}{dx} = \frac{e}{c} (UH_0 - v_{jx} H) \quad (1)$$

$$\frac{dH}{dx} = - \frac{4\pi en_0}{c} \left(U \sum_{j=1}^2 \alpha_j \frac{v_{jy}}{v_{jx}} + \frac{eE_x}{H_0} \right)$$

Здесь индекс $j = 1, 2$ определяет сорт ионов, ось x направлена в сторону движения плазмы перед волной, ось z совпадает с направлением магнитного поля, H_0 — невозмущенное магнитное поле.

Скорость электронов определяется из дрейфового приближения, поскольку нас интересует область частот $\omega \ll \omega_e$. При помощи несложных преобразований получаем уравнение

$$A^2 v \frac{d}{dx} \left\{ \frac{v}{vh - \alpha_1 M} \left(1 + \frac{m_1}{m_1 \alpha_1 + m_2 \alpha_2} v \frac{dh}{dh} \right) \frac{dh}{dx} \right\} = M - vh \quad (2)$$

где

$$A^2 = \frac{c^2 m_1 m_2 \alpha_2}{4\pi n_0 (m_1 \alpha_1 + m_2 \alpha_2) e^2}, \quad M = \frac{U}{V_A}, \quad h = \frac{H}{H_0}$$

$$v = \frac{v_{1x}}{V_A} = \frac{M}{2m_1 \alpha_1 h} \left\{ m_1 \alpha_1^2 - m_2 \alpha_2^2 + (m_1 \alpha_1 + m_2 \alpha_2) h \left(1 + \frac{1 - h^2}{2M^2} \right) + \right. \\ \left. + ((m_1 \alpha_1^2 - m_2 \alpha_2^2)^2 - 2(m_1 \alpha_1 + m_2 \alpha_2)(m_1 \alpha_1^2 + m_2 \alpha_2^2) h \left(1 + \frac{1 - h^2}{2M^2} \right)^2) \right. \\ \left. + (m_1 \alpha_1 + m_2 \alpha_2)^2 h^2 \left(1 + \frac{1 - h^2}{2M^2} \right)^{1/2} \right\} \quad (3)$$

Если выполняется условие $m_1 \alpha_1 \gg m_2 \alpha_2$, то скорость тяжелой компоненты (3) принимает простой вид

$$v = M \left(1 + \frac{1 - h^2}{2M^2} \right)$$

и уравнение (2) можно один раз проинтегрировать

$$\frac{1}{2} \frac{A^2 v^2}{(vh - \alpha_1 M)^2} \left(1 + \frac{m_1}{m_1 \alpha_1 + m_2 \alpha_2} v \frac{dv}{dh} \right)^2 \frac{(dh)^2}{(dx)} = \\ = - \left(1 + \frac{m_1 \alpha_2}{m_1 \alpha_1 + m_2 \alpha_2} \right) (h - 1) - \frac{1}{2} \frac{m_1}{m_1 \alpha_1 + m_2 \alpha_2} (v^2 - M^2) - \\ - \frac{2m_2 \alpha_2^2 M^2}{m_1 \alpha_1 + m_2 \alpha_2} \left\{ \frac{1}{(h_2 - h_1)(h_3 - h_1)} \ln \left| \frac{h - h_1}{1 - h_1} \right| + \right. \\ \left. + \frac{1}{(h_1 - h_2)(h_3 - h_2)} \ln \left| \frac{h - h_2}{1 - h_2} \right| + \frac{1}{(h_2 - h_3)(h_1 - h_3)} \ln \left| \frac{h - h_3}{1 - h_3} \right| \right\} \quad (4)$$

Здесь h_1 , h_2 , h_3 — корни уравнения $h^3 - (2M^2 + 1)h + 2M^2\alpha_1 = 0$. Выбор постоянной интегрирования соответствует уединенной волне. Уравнение (4) позволяет установить связь между скоростью уединенной волны и максимальной величиной магнитного поля в волне. Эта зависимость для различных значений относительных концентраций ионов различного сорта приведена на фиг. 2. При небольших амплитудах магнитного поля скорость уединенной волны равна

$$M = \frac{1}{2} (1 + h_{\max}) \quad (5)$$

С увеличением h_{\max} скорость волны возрастает быстрее, чем по формуле (5). Это отклонение от линейности наступает тем скорее, чем меньше относительная концентрация легкой компоненты.

В области линейной зависимости скорости M от амплитуды магнитного поля h_{\max} профиль уединенной волны имеет известную форму — симметричный горб. В случае малых амплитуд ($h - 1 \ll 1$) можно получить аналитическое выражение для магнитного поля в уединенной волне

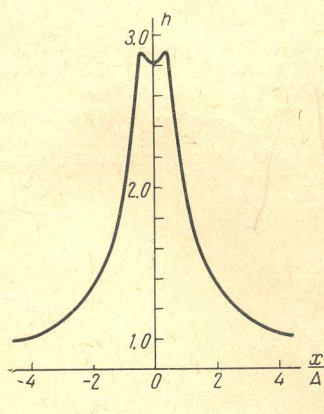
$$h = 1 + b_{\max} \operatorname{sech}^2 \left(\frac{\sqrt{b_{\max}}}{2A} x \right), \quad b_{\max} = h_{\max} - 1$$

При больших скоростях волны, когда связь $M = M(h_{\max})$ нелинейна, форма уединенной волны существенно меняется, поскольку вступает в игру верхняя ветвь дисперсионной кривой. Типичный профиль уединенной волны в трехкомпонентной плазме при больших скоростях, полученный численным решением системы уравнений (1), представлен на фиг. 3. С уменьшением концентрации легкой компоненты линейный размер уединенной волны уменьшается, что находится в соответствии с оценками по линейной теории, приведенными выше; кроме того, величина «впадины» в центре волны убывает. Отметим: указанное решение существует только при скоростях волны, меньших некоторого критического значения, зависящего от относительных концентраций легкой и тяжелой компонент. Особая точка системы уравнений (1), соответствующая невозмущенному состоянию плазмы перед волной, является седлом (интегральная кривая выходит из этой точки), если выполняется условие

$$1 < M < \left[\left(\frac{m_1}{m_2} \alpha_2 + \alpha_1 \right) \left(\alpha_1 + \frac{m_2}{m_1} \alpha_2 \right) \right]^{1/2}$$

Нижний предел скорости волны, естественно, равен скорости звука, а верхний предел равен фазовой скорости малых колебаний при больших, по сравнению с ω_1, ω_2 , частотах. При приближении скорости волны к этому верхнему пределу происходит «выметание» из волны легкой компоненты, и дисперсионные эффекты, компенсирующие нелинейное укрупнение, проявляются при более высоких частотах

$$\omega \sim \frac{eH_0}{\sqrt{m_i m_e c}}$$

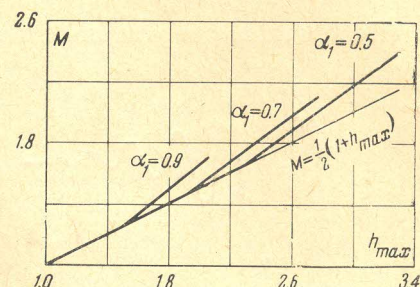


Фиг. 3

и обусловливаются инерцией электронов. Критическое значение скорости волны, а стало быть, и максимальное магнитное поле в волне убывают с уменьшением относительной концентрации легкой компоненты. Поэтому при малых концентрациях более легкого сорта ионов амплитуды уединенных волн в области частот

$$\omega \ll \frac{eH_0}{\sqrt{m_i m_e c}}$$

будут малы.



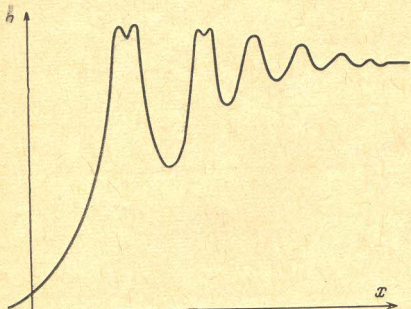
Фиг. 2

Оценим энергию ионов в волне. Энергия тяжелых ионов в направлении движения волны («продольная» энергия) по порядку величины равна

$$\mathcal{E}_x^{(1)} \sim m_1 n_1 v_{1x}^2 \sim m_1 n_1 \left(\frac{e E_x}{m_1 \omega} \right)^2$$

«Поперечная» энергия легких ионов по порядку величины равна

$$\mathcal{E}_y^{(2)} \sim m_2 n_2 v_{2y}^2 \sim m_2 n_2 \left(\frac{c E_x}{H} \right)^2$$



Фиг. 4

Учитывая, что

$$\omega \sim \omega^{(\infty)} \approx \sqrt{\omega_1 \omega_2 \alpha_2 / \alpha_1}$$

получим $\mathcal{E}_y^{(2)} / \mathcal{E}_x^{(1)} \sim 1$, и энергии, приходящиеся на одну частицу, оцениваются следующим образом:

$$\mathcal{E}_y^{(2)} / \mathcal{E}_x^{(1)} \sim n_1 / n_2$$

Отсюда следует, что при распространении в трехкомпонентной плазме рассмотренной выше уединенной волны имеет место ускорительный механизм, при-

водящий к ускорению легкого сорта ионов в направлении, перпендикулярном к направлению движения волны.

Если ввести в исходные уравнения трение между компонентами плазмы, то получим ударную волну осцилляторной структуры с резким передним фронтом. Профиль такой волны качественно изображен на фиг. 4.

Поступила 29 X 1965

ЛИТЕРАТУРА

- Куртмуллаев Р. Х., Нестерихин Ю. Е., Пильский В. И., Сагдеев Р. З. Механизм нагрева плазмы бесстолкновительными ударными волнами. Доклад на Международной конференции, Калэм, Англия, 1965.
- Плетнев В. Д., Скуридин Г. А., Чесалин Л. С. Космические исследования, 1965, т. 3, № 3, стр. 408.
- Сагдеев Р. З. Коллективные процессы и ударные волны в разреженной плазме. Сб. «Вопросы теории плазмы», Атомиздат, 1964, вып. 4.
- Якименко В. Л. Ж. техн. физ., 1962, т. 32, № 2, стр. 168.